



Malvasia bianca di Candia

Muganu M., Paolocci M., Scalabrelli C., D'Onofrio C., 2015. Malvasia Bianca di Candia. In: Italian Vitis Database. www.vitisdb.it ISSN 2282-0062010

release 15/07/2015, ultimo aggiorn. 15/07/2015 url http://vitisdb.it/varieties/show/285

Informazioni generali gestite da

Dipartimento di Scienze Agrarie e Forestali, Università della Tuscia, Viterbo
Dipartimento di Scienze Agrarie, Alimentari e Agro-ambientali (DiSAAA-a) - Università di Pisa

Ringraziamenti

Fondazione AGER (AGER Fundation)

Informazioni botaniche

nome Malvasia bianca di Candia
tipo di origine spontanea
specie Vitis vinifera
gruppo di varietà Malvasie
trueness to type accertato con rilievi morfologici e microsatelliti
codice IVD-var_10

genere Vitis
sottospecie sativa
vitigno da vino

True-name

confermato **si**

Bibliografia correlata (1)

| autori | anno | titolo | rivista | citazione |
|------------------------------------|------|---------------------------|---------|--|
| Prosperi V., Pirovano A., Bruni B. | 1964 | Malvasia bianca di Candia | | Principali vitigni da vino coltivati in Italia, MAF, Arti grafiche Longo e Zoppelli, Treviso |

Registrazione

iscritto al Registro Nazionale delle Varietà di Viti **si**
codice 131
nome ufficiale Malvasia Bianca di Candia b.

Sinonimi

nessun sinonimo disponibile per Malvasia bianca di Candia

Accessione principale

accessione principale Malvasia TR VT13
componente che l'ha inserita Dipartimento di Scienze Agrarie e Forestali, Università della Tuscia, Viterbo

Accessioni standardizzate (4)

- Malvasia bianca di Candia (clone Rauscedo 2) - Dipartimento di Scienze Agrarie, Alimentari e Agro-ambientali (DiSAAA-a) - Università di Pisa
- Malvasia di Candia - Dipartimento di Scienze Agrarie, Alimentari e Agro-ambientali (DiSAAA-a) - Università di Pisa
- Malvasia TR VT13 - Dipartimento di Scienze Agrarie e Forestali, Università della Tuscia, Viterbo
- Moscato Pirrone 1 - Dipartimento delle Culture Europee e del Mediterraneo: Architettura, Ambiente, Patrimoni Culturali (DiCEM)

Tutte le accessioni (4)

- Malvasia bianca di Candia (clone Rauscedo 2) - Dipartimento di Scienze Agrarie, Alimentari e Agro-ambientali (DiSAAA-a) - Università di Pisa
- Malvasia di Candia - Dipartimento di Scienze Agrarie, Alimentari e Agro-ambientali (DiSAAA-a) - Università di Pisa
- Malvasia TR VT13 - Dipartimento di Scienze Agrarie e Forestali, Università della Tuscia, Viterbo
- Moscato Pirrone 1 - Dipartimento delle Culture Europee e del Mediterraneo: Architettura, Ambiente, Patrimoni Culturali (DiCEM)

Cloni omologati (7)

I - RAUSCEDO 2 I - UBA 26/E I - UBA 26/F I - UNIMI-VITIS-MALB VV 200 I - UNIMI-VITIS-MALB VV 222 I - Ampelos TEA 26 I - Ampelos TEA 227

Profilo microsatellite standardizzato

| loci: | loci predefiniti (9) | | | | | | | | | | | | | | | | | |
|-------------|----------------------|-----|-------|-----|-------|-----|--------|-----|---------|-----|---------|-----|--------|-----|--------|-----|--------|-----|
| | VVS2 | | VVMD5 | | VVMD7 | | VVMD27 | | VrZAG62 | | VrZAG79 | | VVMD25 | | VVMD28 | | VVMD32 | |
| locus SSR: | A1 | A2 | A1 | A2 | A1 | A2 | A1 | A2 | A1 | A2 | A1 | A2 | A1 | A2 | A1 | A2 | A1 | A2 |
| allele: | 133 | 143 | 225 | 237 | 249 | 263 | 185 | 194 | 200 | 202 | 239 | 251 | 242 | 256 | 249 | 251 | 259 | 259 |
| dimensione: | | | | | | | | | | | | | | | | | | |

Immagini



germoglio



germoglio pagina superiore



germoglio pagina inferiore



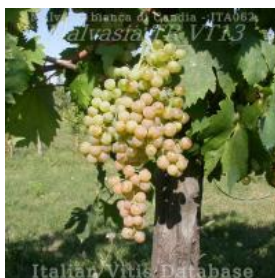
foglia



foglia pagina superiore



foglia pagina inferiore



grappolo



acino



vinacciolo

Ampelografia

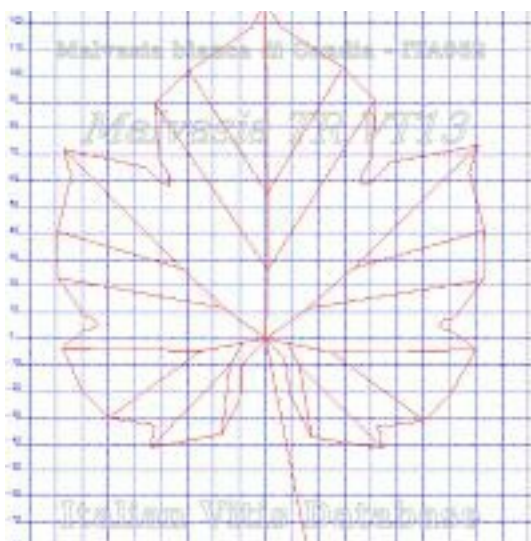
| OIV | descrizione | valore | | immagini |
|-----|--|-------------|---------------------------|----------|
| 001 | Giovane germoglio: apertura dell'apice | 5 | completamente aperto | |
| 002 | Giovane germoglio: distribuzione della pigmentazione antocianica dei peli striscianti dell'apice | 2 | al margine | |
| 003 | Giovane germoglio: intensità della pigmentazione antocianica dei peli striscianti dell'apice | 5 | media | |
| 004 | Giovane germoglio: densità dei peli striscianti dell'apice | 5 | media | |
| 006 | Germoglio: portamento (prima della legatura) | 3 | semi-eretto | |
| 007 | Germoglio: colore del lato dorsale degli internodi | 3 | rosso | |
| 008 | Germoglio: colore del lato ventrale degli internodi | 2 | verde e rosso | |
| 009 | Germoglio: colore del lato dorsale dei nodi | 2 | verde e rosso | |
| 010 | Germoglio: colore del lato ventrale dei nodi | 3 | rosso | |
| 016 | Germoglio: numero di viticci consecutivi | 1 | 2 o meno | |
| 051 | Foglia giovane: colore della pagina superiore del lembo (4 a foglia) | 3 | bronzato | |
| 053 | Foglia giovane: densità peli striscianti tra le nervature principali della pagina inferiore (4a foglia) | 5 | media | |
| 065 | Foglia adulta: dimensione del lembo | 5 | medio | |
| 067 | Foglia adulta: forma del lembo | 2 | cuneiforme | |
| 068 | Foglia adulta: numero dei lobi | 2 / 3 (Ø 1) | tre / cinque | |
| 069 | Foglia adulta: colore della pagina superiore del lembo | 3 | verde chiaro | |
| 070 | Foglia adulta: distribuzione pigmentazione antocianica nervature principali pagina superiore | 3 | fino alla 1a biforcazione | |
| 071 | Foglia adulta: distribuzione della pigmentazione antocianica delle nervature principali della pagina inferiore del lembo | 2 | solo al punto peziolare | |
| 072 | Foglia adulta: depressioni del lembo | 1 | assenti o molto deboli | |
| 074 | Foglia adulta: profilo del lembo in sezione trasversale | 4 | revoluto | |

| | | | |
|-------|--|-------|--|
| 075 | Foglia adulta: bollosità della pagina superiore del lembo | 3 | bassa |
| 076 | Foglia adulta: forma dei denti | 2 / 5 | entrambi i lati rettilinei / misto tra entrambi i lati rettilinei (livello 2) e entrambi i lati convessi (livello 3) |
| 077 | Foglia adulta: dimensione dei denti in rapporto alla dimensione del lembo | 3 / 5 | piccoli / medi |
| 078 | Foglia adulta: lunghezza dei denti in rapporto alla loro larghezza | 3 | corti |
| 079 | Foglia adulta: grado di apertura / sovrapposizione dei bordi del seno peziolare | 3 | aperto |
| 080 | Foglia adulta: forma della base del seno peziolare | 1 | a U |
| 081-1 | Foglia adulta: denti del seno peziolare | 1 | assenti |
| 081-2 | Foglia adulta: base del seno peziolare delimitata dalla nervatura | 1 | non delimitata |
| 082 | Foglia adulta: grado di apertura / sovrapposizione dei seni laterali superiori | 1 / 2 | aperti / chiusi |
| 083-1 | Foglia adulta: forma della base dei seni laterali superiori | 3 | a V |
| 083-2 | Foglia adulta: denti nei seni laterali superiori | 1 | assenti |
| 084 | Foglia adulta: densità dei peli striscianti tra le nervature principali sulla pagina inferiore del lembo | 3 | bassa |
| 085 | Foglia adulta: densità dei peli eretti tra le nervature principali sulla pagina inferiore del lembo | 1 | nulla o molto bassa |
| 086 | Foglia adulta: densità dei peli striscianti sulle nervature principali della pagina inferiore del lembo | 1 | nulla o molto bassa |
| 087 | Foglia adulta: densità dei peli eretti sulle nervature principali della pagina inferiore del lembo | 1 | nulla o molto bassa |
| 088 | Foglia adulta: peli striscianti sulle nervature principali della pagina superiore del lembo | 1 | assenti |
| 089 | Foglia adulta: peli eretti sulle nervature principali della pagina superiore del lembo | 1 | assenti |
| 090 | Foglia adulta: densità dei peli striscianti sul picciolo | 1 | nulla o molto bassa |
| 091 | Foglia adulta: densità dei peli eretti sul picciolo | 1 | nulla o molto bassa |
| 093 | Foglia adulta: lunghezza del picciolo in rapporto alla lunghezza della nervatura mediana | 1 | più corto |
| 094 | Foglia adulta: profondità dei seni laterali superiori | 1 / 5 | assente o molto poco profondo / medio |
| 151 | Fiore: organi sessuali | 3 | stami completamente sviluppati e gineceo completamente sviluppato |
| 153 | Infiorescenza: numero di infiorescenze per germoglio | 2 | da 1,1 a 2 infiorescenze |
| 202 | Grappolo: lunghezza (escluso il peduncolo) | 9 | molto lungo |
| 203 | Grappolo: larghezza | 5 | medio |
| 204 | Grappolo: compattezza | 3 / 5 | spargolo / medio |
| 206 | Grappolo: lunghezza del peduncolo del grappolo principale | 3 / 5 | corto / medio |
| 207 | Grappolo: lignificazione del peduncolo | 1 | solo alla base |
| 208 | Grappolo: forma | 2 | conico |
| 209 | Grappolo: numero di ali del grappolo principale | 3 | 3 - 4 ali |
| 220 | Acino: lunghezza | 3 / 5 | corto / medio |
| 221 | Acino: larghezza | 3 / 5 | stretto / medio |
| 222 | Acino: uniformità della dimensione | 1 | non uniforme |
| 223 | Acino: forma | 2 | sferoidale |
| 225 | Acino: colore della buccia | 1 / 2 | verde giallo / rosa |
| 226 | Acino: uniformità del colore della buccia | 1 | non uniforme |
| 227 | Acino: pruina | 3 | debole |
| 228 | Acino: spessore della buccia | 5 | media |
| 229 | Acino: ombelico | 2 | apparente |
| 231 | Acino: intensità della pigmentazione antocianica della polpa | 1 | nulla o molto debole |
| 232 | Acino: succulenza della polpa | 3 | molto succosa |
| 235 | Acino: consistenza della polpa | 1 | molle |
| 236 | Acino: particolarità dell'aroma | 1 | nessuna |
| 238 | Acino: lunghezza del pedicello | 3 | corto |
| 240 | Acino: facilità di separazione dal pedicello | 2 | facile |
| 241 | Acino: sviluppo dei vinaccioli | 3 | completo |



| | | | | |
|-----|--|---|---------|--|
| 243 | Acino: peso dei vinaccioli | 3 | basso | |
| 244 | Acino: scanalature trasversali sulla faccia dorsale dei vinaccioli | 1 | assenti | |

Ampelometria



foglia ampelometrica

OIV

| OIV | PDF | descrizione | valore |
|-----|-----|--|--------------|
| 601 | PDF | Foglia adulta: lunghezza della nervatura N1 | (Ø 128.20) |
| 602 | PDF | Foglia adulta: lunghezza della nervatura N2 | (Ø 108.00) |
| 603 | PDF | Foglia adulta: lunghezza della nervatura N3 | (Ø 79.50) |
| 604 | PDF | Foglia adulta: lunghezza della nervatura N4 | (Ø 61.50) |
| 605 | PDF | Foglia adulta: distanza dal seno peziolare al seno laterale superiore | (Ø 69.30) |
| 606 | PDF | Foglia adulta: distanza dal seno peziolare al seno laterale inferiore | (Ø 65.50) |
| 607 | PDF | Foglia adulta: angolo tra N1 e N2 misurato alla prima biforcazione | (Ø 54.00) |
| 608 | PDF | Foglia adulta: angolo tra N2 e N3 misurato alla prima biforcazione | (Ø 47.00) |
| 609 | PDF | Foglia adulta: angolo tra N3 e N4 misurato alla prima biforcazione | (Ø 51.10) |
| 610 | PDF | Foglia adulta: angolo tra N3 e la tangente tra il punto peziolare e l'estremità N5 | (Ø 62.60) |
| 611 | PDF | Foglia adulta: lunghezza della nervatura N5 | (Ø 27.20) |
| 612 | PDF | Foglia adulta: lunghezza del dente di N2 | (Ø 9.70) |
| 613 | PDF | Foglia adulta: larghezza del dente di N2 | (Ø 11.60) |
| 614 | PDF | Foglia adulta: lunghezza del dente di N4 | (Ø 7.20) |
| 615 | PDF | Foglia adulta: larghezza del dente di N4 | (Ø 10.00) |
| 617 | PDF | Foglia adulta: distanza tra l'estremità di N2 e l'estremità della prima nervatura secondaria di N2 | (Ø 58.40) |
| 618 | PDF | Foglia adulta: apertura/sovrapposizione del seno peziolare | (Ø -20.30) |

Superampelo

nessun descrittore SuperAmpelo presente per Malvasia TR VT13